

## چینه‌نگاری سکانسی سازند گورپی در جنوب غرب فیروزآباد (تاقدیس آغار)

\*نجمه ابراری، حسین وزیری مقدم: دانشگاه اصفهان

عزیز الله طاهری: دانشگاه صنعتی شاهروود

علی صیرفیان: دانشگاه اصفهان

### چکیده

بررسی روزن‌داران پلانکتون سازند گورپی در جنوب غرب ناحیه فیروزآباد (تاقدیس آغار) منجر به شناسایی ۸ بایوزون گردید، که شامل (Dicarinella asymetrica Zone) (سانتونین تا اوایل کامپانین پیشین)، (Globotruncana ventricosa Zone) (کامپانین پیشین)، (Globotruncanita elevata Zone) (کامپانین پیشین)، (Globotruncanella) (کامپانین پسین)، (Radotruncana calcarata Zone) (کامپانین پسین)، (Globotruncana aegyptiaca Zone) (کامپانین پسین)، (havanensis Zone) (کامپانین پسین)، (Gansserina gansseri Zone) (بخش بالایی کامپانین پسین تا بخش زیرین مائس تریشتن)، (Contusotruncana contusa and Racemiguembla fructicosa Zone) (مائس تریشتن پیشین تا مائس تریشتن پسین) است. در ناحیه بررسی شده سازند گورپی با ناهمسازی فرسایشی روی سازند ایلام و بهصورت ناهمسازی فرسایشی در زیر سازند پایده قرار دارد. بر اساس توزیع انواع مورفوتابیپ‌های روزن‌داران پلانکتون، نسبت روزن‌داران پلانکتون به بتیک (P/B) و محتوای کربنات، ۷ سکانس درجه سه تشخیص داده شد. مرز سکانسی سازند گورپی با سازندهای ایلام و پایده از نوع اول و سایر مرزهای سکانسی از نوع دوم‌اند.

### مقدمه

منطقه چین‌خوردۀ زاگرس از تریاس بالایی به بعد، حوضه‌ای با فرونژینی مداوم، همراه با رسوب‌گذاری متند را تشکیل داده است. ضخامت رسوبات دریایی در این حوضه، افزون بر چند هزار متر می‌شود که در آن رخسارهای متنوع، روی هم انباشته شده و شامل سازندهای متعدد است. سازند گورپی یکی از سازندهای کرتاسه بالایی است که در محیط دریایی رسوب کرده و بهطور عمده از مارن و آهک رسی تشکیل شده است. سنگ‌های سازند گورپی در جنوب غربی ایران گسترش وسیعی دارند. بر اساس پژوهش‌های قبلی سن این سازند از سانتونین تا پالئوسن گزارش شده است.

نام سازند گورپی از کوه گورپی در شمال شهرستان مسجد سلیمان گرفته شده است [۱۷]. سازند گورپی از

واژه‌های کلیدی: سازند گورپی، روزن‌بران پلانکتون، مرز سکانسی، چینه نگاری سکانسی، مورفوتابیپ.

پذیرش ۱۱/۱

دریافت ۸۹/۵/۶

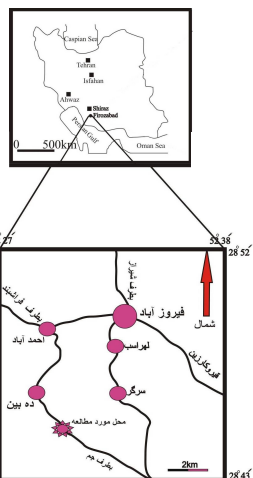
\*نویسنده مسئول

دیدگاه چینه‌نگاری را محققانی چون کلانتری (۱۹۷۶)، طاهری (۱۳۷۷)، هویزاوی (۱۳۷۷)، بخشعلیزاده، وزیری‌مقم و همکاران (۱۳۸۰)، تگستانی (۱۳۸۱)، قیامی‌اصفهانی (۱۳۸۱)، کاملی ازان (۱۳۸۷) و جلیلی (۱۹۶۵) بررسی کرده‌اند. در این پژوهش سعی شده است چینه‌نگاری سکانسی سازند گورپی با استفاده از پخش و پراکندگی روزن‌داران شناور، نسبت روزن‌داران پلانکتونیک به بنتیک و محتوای کربنات بررسی شود.

برش نمونه سازند گورپی در شمال شهرستان لالی و شمال غرب مسجد سلیمان در بال جنوب غربی، پلانج جنوب‌شرقی کوه گورپی در تنگ پابده واقع شده است و مختصات رأس آن  $۴۰^{\circ} ۲۶' ۵۰''$  عرض شمالی و  $۴۹^{\circ} ۴۹' ۱۳''$  طول شرقی است [۶].

### موقعیت جغرافیایی منطقه بررسی شده

برش بررسی شده در تاقدیس آغار و در جنوب‌غرب منطقه فیروزآباد با مختصات  $۴۳^{\circ} ۲۸'$  عرض شمالی و  $۵۲^{\circ} ۲۷'$  طول شرقی در ۲۴ کیلومتری فیروزآباد واقع در سهراهی جم به عسلویه و در جنوب شرق روستای ده بین واقع شده است (شکل ۱).



شکل ۱. موقعیت جغرافیایی و راه‌های دستیابی به محدوده پژوهش

### روش بررسی شده

برای تعیین عمق و شناسایی روزن‌داران شناور از برش بررسی شده ۶۴ نمونه سخت سنگی و ۲۶ نمونه از رسوبات نرم جمع‌آوری شد. از نمونه‌های سخت و سنگی با برش‌های متعدد مقاطع کاملاً محوری تهیه شد و از نمونه‌های نرم طی مراحل مختلف در آزمایشگاه روزن‌داران از رسوب جدا و از آن‌ها با میکروسکوپ الکترونی عکس‌برداری گردید. پس از آماده‌سازی نمونه‌ها بررسی شدند و با توجه به منابع مختلف از قبیل لوبلیچ و تاپان<sup>۱</sup> (۱۹۸۸)، بولی و همکاران<sup>۲</sup> (۱۹۸۵)، هارت و همکاران<sup>۳</sup> (۱۹۸۹)، پرمولی سیلووا و ورگا<sup>۴</sup> (۲۰۰۴)، روبازینسکی و کارون<sup>۵</sup> (۱۹۹۵)، پوستوما<sup>۶</sup> (۱۹۷۱)، ژورگسکیو<sup>۷</sup> (۱۹۹۶) در حد جنس و گونه معرفی گردیدند (شکل ۲).

<sup>۱</sup>. Loeblich and Tappan  
<sup>۵</sup>. Robaszynski & Caron

<sup>2</sup>. Bolli et al  
<sup>6</sup>. Postuma

<sup>3</sup>. Hart et al  
<sup>7</sup>. Georgescu

<sup>4</sup>. Premoli Silva & Verga

تعیین عمق سازند گورپی در این پژوهش بر اساس توزیع انواع روزنبران پلانکتون، درصد روزنبران پلانکتون (نسبت روزنبران پلانکتون به بنتیک) و محتوای کربنات صورت گرفته است. برای تعیین عمق از هر نمونه (هم در نمونه‌های ایزوله و هم در نمونه‌های سخت)، ۳۰۰ فسیل به صورت تصادفی شمارش شد. در ابتدا نسبت روزنبران پلانکتون به بنتیک (P/B) تعیین شد و سپس درصد مورفوتابیپ‌های مختلف مشخص گردید. درصد مورفوتابیپ نوع ۳ به عنوان شاخص عمق بیشتر در نظر گرفته شده است [۱۴]. برای تعیین محتوای کربنات، با استفاده از روش کلسی‌متری، حدود ۱۰-۵ گرم از هر نمونه را به صورت کاملاً پودر شده در می‌آوریم. برای حذف کامل کربنات، اسیدکلریدریک گرم و غلیظ را به نمونه اضافه می‌کنیم. با اندازه‌گیری رس باقی‌مانده، محتوای کربنات هر نمونه تعیین می‌شود [۲۱]. در این پژوهش بر اساس موارد ذکور سکانس‌های رسوبی دسته سوم در سازند گورپی در ناحیه بررسی شده تشخیص داده شده است.

بر اساس بایوزون‌های ارائه شده برای کرتاسه فوقانی توسط روبازینسکی و کارون (۱۹۹۵) ۸ بایوزون در سازند گورپی در منطقه بررسی شده تشخیص داده شد که عبارتند از:

۱. *Dicarinella asymetrica Zone* (سانتونین تا کامپانین پیشین): این زون از نوع زون گستره کامل<sup>۱</sup> است و از اولین حضور گونه شاخص تا آخرین حضور آن ادامه دارد.
۲. *Globotruncanita elevata Zone* (کامپانین پیشین): این زون از نوع زون گستره بخشی<sup>۲</sup> است و از آخرین حضور تمام گونه‌های جنس (*Dicarinella*) تا اولین حضور (*Globotruncana ventricosa*) باز است.
۳. *Globotruncana ventricosa Zone* (کامپانین میانی تا کامپانین پیشین): این زون از نوع زون بازه‌ای<sup>۳</sup> است و از اولین حضور گونه شاخص تا اولین حضور گونه (*Radotruncana calcarata*) باز است.
۴. *Radotruncana calcarata Zone* (کامپانین پیشین): این زون از نوع زون گستره کامل است و از اولین حضور گونه شاخص تا آخرین حضور آن ادامه دارد.
۵. *Globotruncanella havanensis Zone* (کامپانین پیشین): این زون از نوع زون گستره بخشی است و از آخرین حضور گونه (*Radotruncana calcarata*) تا اولین حضور گونه (*Globotruncana*) باز است.
۶. *Globotruncana aegyptiaca Zone* (کامپانین پیشین تا بخش بالای کامپانین پیشین): این زون از نوع زون بازه‌ای است و از اولین حضور گونه (*Globotruncanana aegyptiaca*) تا اولین ظهر گونه (*Gansserina gansseri*) باز است.
۷. *Gansserina gansseri Zone* (بخش بالایی کامپانین پیشین تا بخش زیرین مائس تریشتن): این زون از نوع زون بازه‌ای است و از اولین حضور گونه (*Gansserina gansseri*) تا اولین حضور (*Racemiguembla fructicosa*) و یا (*Contusotruncana contuse*) باز است.

۱. Total Range Zone

۲. Partial Range Zone

۳. Interval Zone

بالایی مائس تریشتن)؛ این زون از نوع زون بازه‌ای است و از اولین حضور گونه شاخص تا اولین حضور گونه (Abathomphalus mayaroensis) ادامه دارد ولی به علت این‌که گونه (Abathomphalus mayaroensis) در این منطقه دیده نشده، سن سازند گورپی در این منطقه از سانتونین بالایی تا مائس تریشتن میانی تعیین می‌گردد.

### چینه‌نگاری سکانسی

در چینه‌نگاری سکانسی نهشته‌های یک حوضه رسوی به سکانس‌هایی که بین ناپیوستگی‌ها یا پیوستگی‌های همارز آن‌ها قرار دارند، تقسیم می‌شوند. این کار با بررسی عمودی تغییرات رخساره‌ها و شناسایی محیط‌های رسوی که مرتبط با تغییرات نسبی سطح آب دریا است انجام می‌گیرد [۱۲].

چینه‌نگاری سکانسی سازند گورپی به دلیل نهشست در آب‌های عمیق و دارا بودن استعداد سنگ منشأ نفت دارای اهمیت زیادی است. در انجام پژوهش‌های محیط رسوی و چینه‌نگاری سکانسی، تغییرات عمق حوضه رسوی که مرتبط با تغییرات سطح آب دریا است حائز اهمیت است و می‌تواند در پیش‌بینی و تقسیر الگوی انباست دسته‌های رسوی و تعیین سطوح سکانسی کمک فراوانی کند.

تعیین عمق سازند گورپی در این پژوهش بر اساس توزیع انواع روزن‌بران پلانکتون، درصد روزن‌بران پلانکتون (نسبت روزن‌بران پلانکتونیک به بنتیک) و محتوا کربنات صورت گرفته است.

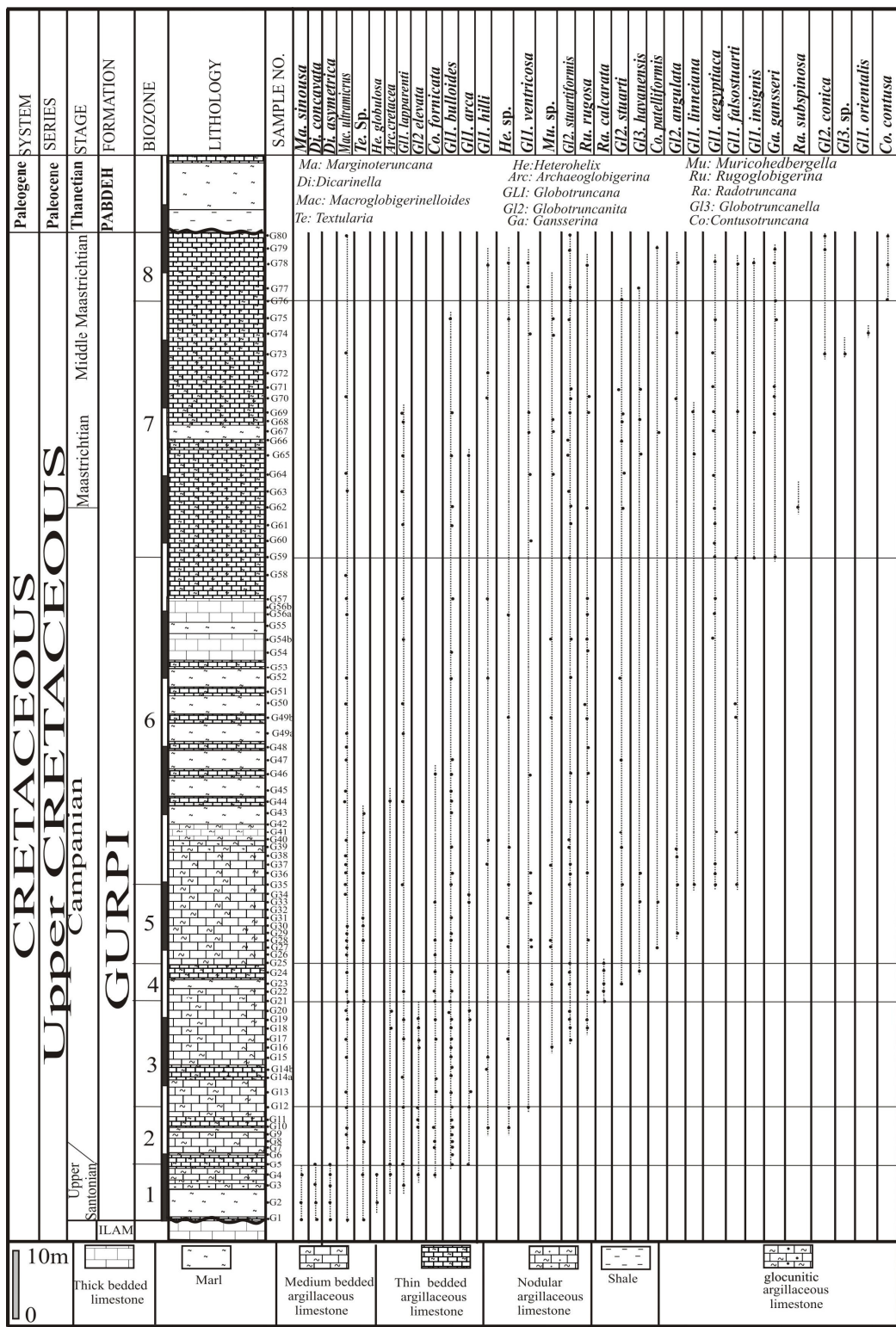
روزن‌بران پلانکتونیک بخش اصلی فونای سازند گورپی را تشکیل می‌دهند. توزیع روزن‌بران پلانکتونیک در ستون آب به عمق آب، دما، شوری، میزان مواد غذایی و جریانات سطحی آب بستگی دارد [۱۴]. بر این اساس روزن‌داران شناور در اعمق خاصی از آب تطابق پیدا کرده‌اند، فرم‌های جوان و سبکتر در اعمق کمتر و فرم‌های سنگین و بالغ تر در اعمق بیشتری از آب دریا ساکن می‌شوند.

سه گروه از مورفوتایپ<sup>۱</sup>‌های روزن‌داران شناور کرتاسه بر اساس عمق زندگی آن‌ها تشخیص داده شده است [۹، ۱۴، ۱۸] که عبارتند از (جدول ۱) :

فون‌های آب‌های کم عمق (۵۰-۱۰۰ متر): نمونه‌های مربوط به این عمق دارای صدف‌های مستقیم نظری (Hedbergella sp.) و یا تروکواسپیرال با حجرات کروی، بدون کارن و با تزئینات کم مانند (sp.) است (جدول ۱).

فون‌های آب‌های حدوداً ۱۰۰ متر: نمونه‌های مربوط به این عمق دارای صدف تروکواسپیرال با حجرات فشرده و کارن‌های ابتدایی مانند (Praeglobotruncana sp.) و یا دارای حجرات کروی با صدف بزرگتر و سنگین‌تر و داری تزئینات بیشتر نسبت به گروه اول مانند (Rugoglobigerina sp.) هستند (جدول ۱).

۱. Morphotype

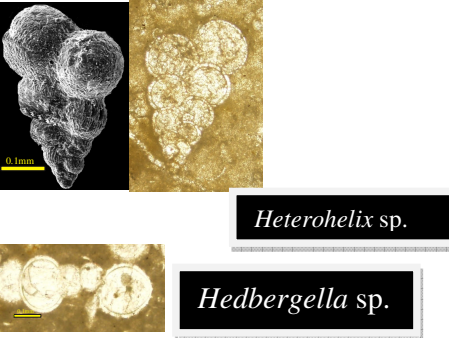
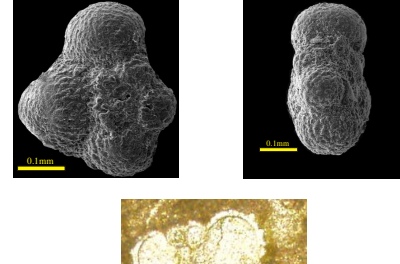


شکل ۲. گسترش بایوزون‌های سازند گوری بر اساس روزنبران پلانکتون در جنوب غرب فیروزآباد (تاقدیس آغار)

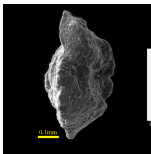
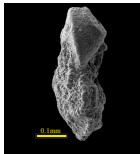
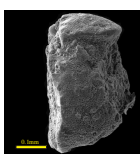
فون‌های آب‌های عمیق (پایین‌تر از ۱۰۰ متر): نمونه‌های مربوط به این عمق دارای صدف‌های تروکو اسپیرال با حجرات فشرده و دارای نظیر گونه‌های مختلفی از جنس *Globotruncanita*, *Globotruncana* sp., *Gansserina* sp. هستند. اشکال مسطح-محدب نظیر (*Contusotruncan* sp. و *Dicarinella* sp. sp.) شاخص آب‌های عمیق‌تر است (جدول ۱).  
مانچینی<sup>۱</sup> و همکاران (۱۹۹۶) و مانچینی و تو<sup>۲</sup> (۱۹۹۶) پژوهش‌های بسیاری بر اساس نسبت فرامینیفرهای پلانکتونیک به بتیک برای تعیین تغییرات سطح آب و همچنین سکانس‌های رسوبی در نهشته‌های مناطق عمیق و نیمه‌عمیق انجام داده‌اند. مبروک<sup>۳</sup> و همکاران (۲۰۰۷) برای تفکیک سکانس‌های رسوبی از محتوای کربنات (نسبت کربنات به رس) استفاده کردند.

در این پژوهش بر اساس موارد مذکور ۷ سکانس رسوبی دسته سوم در سازند گوربی در ناحیه بررسی شده بدین شرح تشخیص داده شده است:

جدول ۱. انواع مورفوتابیپ‌های روزن‌بران پلانکتونیک کرتاسه [۱۹]

گروه	عمق	مشخصات	مثال
۱	۰-۵۰ متر	مورفوتابیپ دارای پوسته مستقیم و تروکو اسپیرال با حجرات کروی و بدون کارن	 <p><i>Heterohelix</i> sp. <i>Hedbergella</i> sp.</p>
۲	۵۰-۱۰۰ متر	مورفوتابیپ دارای پوسته تروکو اسپیرال با حجرات فشرده و کارن ایندابی یا دارای پوسته با حجرات کروی با پوسته بزرگ و سنگین‌تر نسبت به گروه اول	 <p><i>Rugoglobigerina</i> sp.</p>

ادامه جدول ۱

گروه	عمق	مشخصات	مثال
		مورفتایپ دارای پوسته تروکواسپیرال با حجرات فشرده و کارن‌های قوی و با پوسته کارن دار و دارای تزئینات قوی و به شکل مسطح- محدب	 <i>Radotruncana calcarata</i>
۳	>۱۰۰ متر		 <i>Globotruncana linneiana</i>
			 <i>Gansserina gansseri</i>

## سکانس ۱

این سکانس در بیوزون *Dicarinella asymetrica Zone* به سن سانتونین پسین- کامپانین پیشین قرار دارد و ضخامت آن ۱۰/۲ متر است. مرز زیرین آن از نوع<sup>۱</sup> SB1 است که با ناپیوستگی فراسایشی بر روی سازند ایلام قرار گرفته است و با مرز سکانسی<sup>۲</sup> San<sub>3</sub> از سکانس‌های جهانی که حق و شاتر<sup>۳</sup> (۲۰۰۸)، ارائه کردند قابل تطابق است. سیمونز<sup>۴</sup> و همکاران (۲۰۰۷) این مرزسکانسی را از ورقه عربی گزارش نکرده‌اند. دسته رخسارهای پیش‌رونده<sup>۵</sup> (TST) این سکانس با افزایش نسبت P/B و فراوانی مورفتایپ نوع ۳ و افزایش میزان گلوكونیت (GL) و فسفات (PH) مشخص می‌شود (شکل ۴). سطح بیشترین گستردگی آب دریا<sup>۶</sup> (MFS) با حداقل فراوانی مورفتایپ نوع ۳ و فراوانی گلوكونیت در نمونه ۳ بافت پک ستون مشخص می‌گردد [۱۱] و [۲۲]. این سطح از سکانس‌های ارائه شده در مقیاس جهانی و از ورقه عربی گزارش نشده است [۲۷] (شکل ۵ و ۶).

براساس نظرمیروک و همکاران (۲۰۰۷)، محتوای کربنات با بالا آمدن سطح آب دریا افزایش پیدا می‌کند و در مرزهای سکانسی کاهشی ناگهانی دارد و در سطح بیشترین گستردگی آب دریا به حداقل خود میرسد. در سکانس فوق با توجه به آزمایش‌های کلسیمتري، محتوای کربنات در دسته رخسارهای پیش‌رونده (TST) افزایش می‌یابد و در نمونه ۳ به حداقل مقدار خود می‌رسد. از نمونه ۴ به‌سمت بالا میزان مورفتایپ نوع ۳ و نسبت P/B کاهش پیدا می‌کند که بیان‌گر دسته رخسارهای تراز بالا<sup>۶</sup> (HST) است.

۱. Sequence Boundary

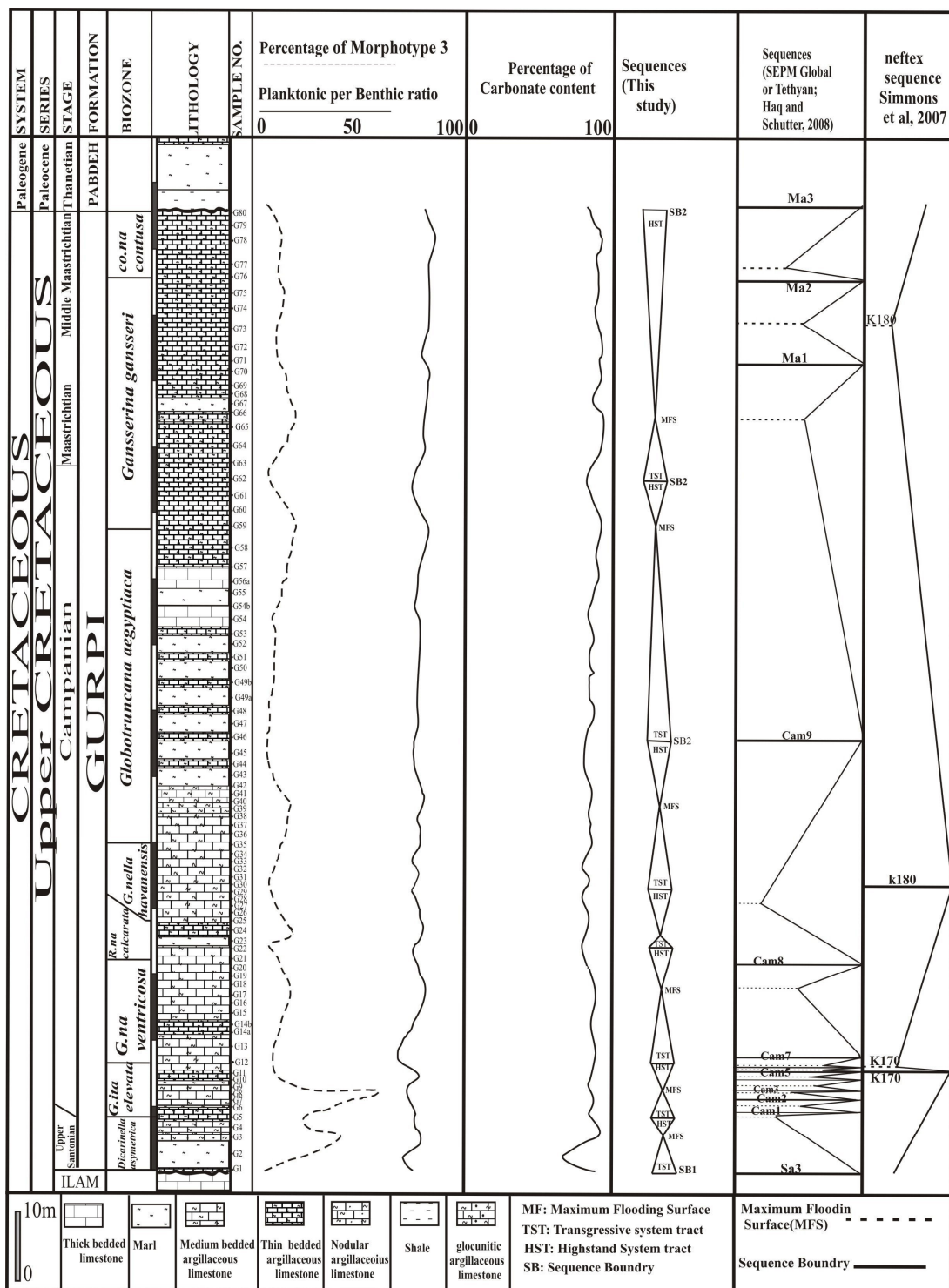
۲. Haq and Schutter

۳. Simmons

۴. Transgressive systems tract

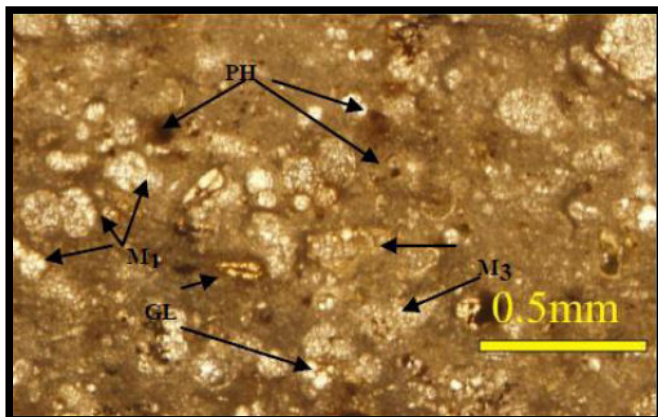
۵. Maximum Flooding Surface

۶. Highstand systems tract

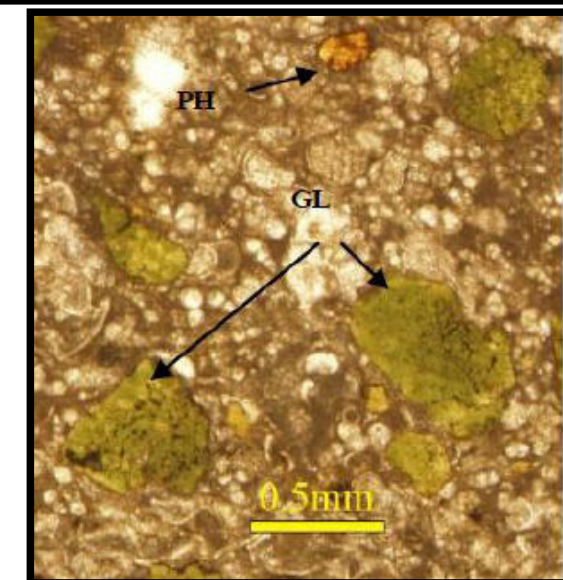


شکل ۳. تطبیق سکانس‌های ارائه شده برای سازند گورپی در جنوب غرب فیروزآباد با سکانس‌های جهانی [۲۷] حق و شاتر (۲۰۰۸)، و سکانس‌های ارائه شده برای ورقه عربی [۲۷] سیمونز و همکاران (۲۰۰۷)

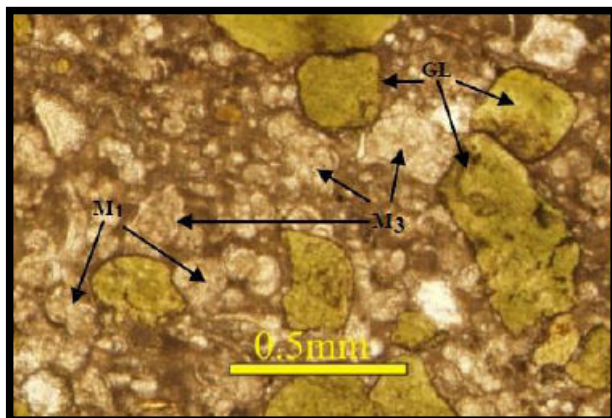
حداکثر کاهش در نسبت P/B و درصد مورفوتایپ نوع ۳ در نمونه ۵ مشاهده می‌شود، بنا بر این نمونه ۵ به عنوان مرز سکانسی از نوع دوم SB2 در نظر گرفته می‌شود. این سطح از سکانس‌های ارائه شده در مقیاس جهانی و از ورقه عربی گزارش نشده است [۲۷] و کاهش محتوای کربنات در این نمونه تأییدی بر این مرز سکانسی است (شکل ۷).



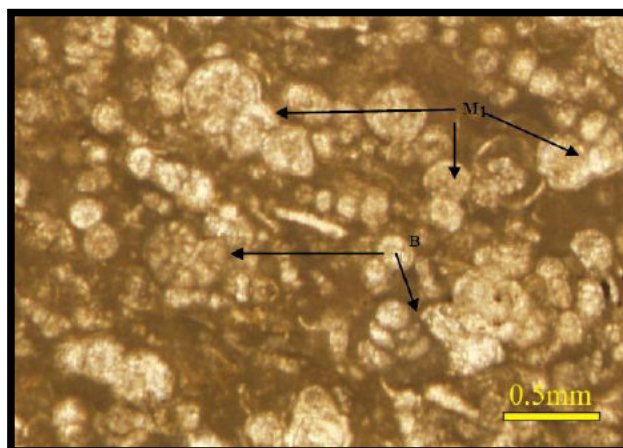
شکل ۴. حضور مورفوتایپ نوع ۳ (M3)، گلوکونیت (GL) و فسفات (PH) در شروع رسوب‌گذاری سازند گورپی که نشان‌دهنده عمق زیاد آب در ابتدای تنشست این سازند (G1) است



شکل ۵. شواهد سطح حداکثر غرق شدگی سکانس اول در نمونه G3، شامل حضور گلوکونیت (GL) و فسفات (PH)



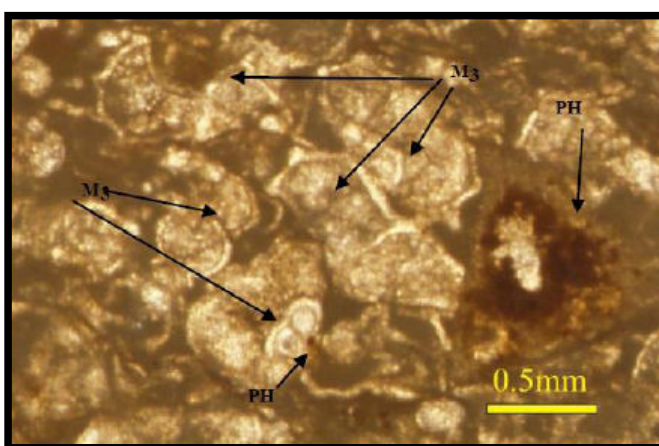
شکل ۶. شواهد سطح حداکثر غرق شدگی سکانس اول در نمونه G3، شامل حضور گلوکونیت (GL) و درصد بالای مورفوتایپ نوع سوم (M3)



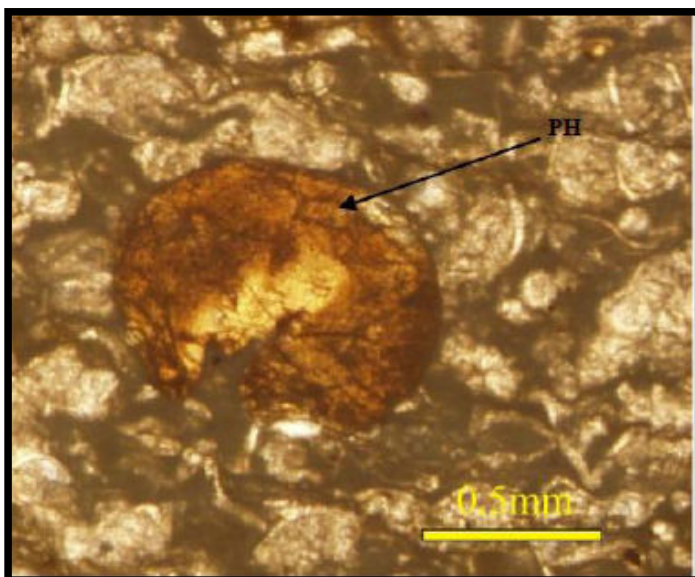
شکل ۷. افزایش درصد روزنبران بنیک (B) و مورفوتایپ‌های نوع ۱ (M<sub>1</sub>) نشان‌دهنده کاهش عمق در مرز سکانسی در حد بین سکانس اول و دوم در نمونه G5

## سکانس ۲

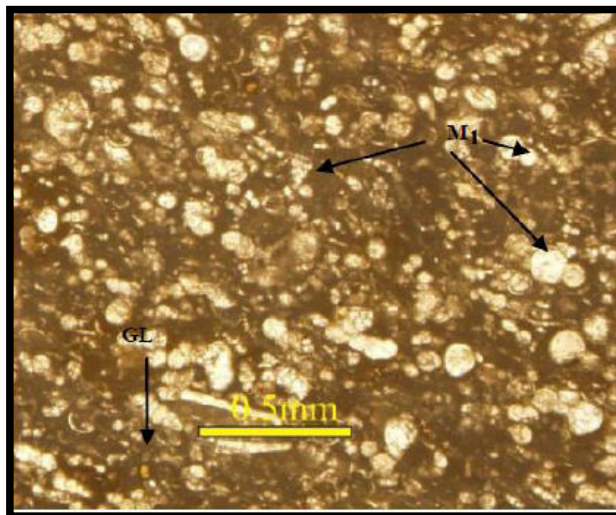
سکانس ۲ با سن کامپانین پیشین در بایوزون شماره ۲ (*Globotruncanita elevata* Zone) قرار دارد و ضخامت آن ۸/۵ متر است. دسته رخسارهای پیشرونده این سکانس (TST) با افزایش درصد مورفوتایپ نوع ۳، محتوای کربنات و نسبت P/B مشخص می‌شود. در نمونه ۸ با بافت پکتون، درصد مورفوتایپ نوع ۳ و محتوای کربنات به حدکثر خود می‌رسد. ولی نسبت P/B افت ناچیزی را نشان می‌دهد و درصد روزنبران بنیک افزایش پیدا می‌کند. این مشخصات به‌هرمراه مقدار زیاد فسفات نشان‌گر سرعت رسوبگذاری پایین و معرف سطح بیشترین گستردگی آب دریا (MFS) است (شکل‌های ۸ و ۹). این سطح با سطح حدکثر غرق‌شدنگی بین مرزهای Cam<sub>2</sub> و Cam<sub>3</sub> از سکانس‌های جهانی که حق و شاتر (۲۰۰۸)، ارائه کرده‌اند، قابل تطابق است ولی از ورقه‌عربی گزارش نشده است. دسته رخسارهای تراز بالا با کاهش درصد مورفوتایپ نوع ۳ مشخص می‌شود. در نمونه ۱۲ درصد مورفوتایپ نوع ۳، محتوای کربنات و نسبت B/P به حداقل خود می‌رسد که شواهدی بر مرز سکانسی از نوع دوم SB2 است. این مرز سکانسی از سکانس‌های ارائه شده در مقیاس جهانی و از ورقه‌عربی گزارش نشده است (شکل ۱۰).



شکل ۸. افزایش فسفات (PH) و مورفوتایپ نوع ۳ (M<sub>3</sub>) شواهدی از سطح حدکثر غرق شدنگی سکانس دوم در نمونه G8



شکل ۹. حضور فراوان فسفات (PH)  
در بافت پکستون در نمونه  
G8، نشان‌دهنده سطح حداکثر  
غرق شدنگی

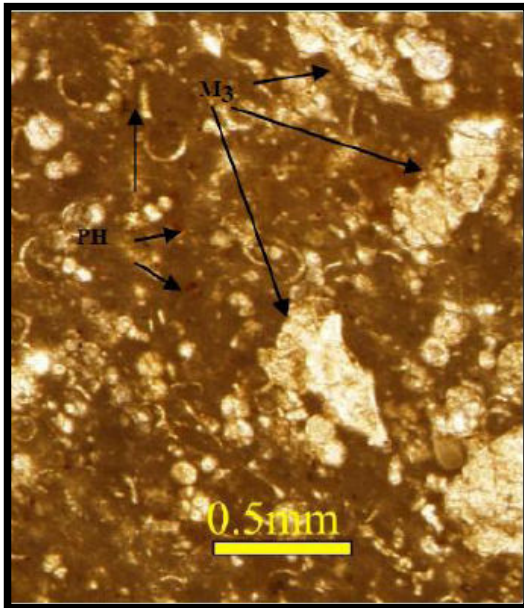


شکل ۱۰. افزایش درصد مورفوتابپ  
نوع ۱ (M1) و کاهش گلوكونیت  
(GL) و فسفات (PH) و ضعیف شدن  
بافت در مرزهای سکانسی در نمونه  
G12

### سکانس ۳

این سکانس به سن کامپانین میانی تا پسین از قاعده بیوزون (*Globotruncana ventricosa Zone*) تا اواسط بیوزون (*Radotruncana calcarata Zone*) قرار دارد و ضخامت آن ۱۸/۲۵ متر است. دسته رخسارهای پیش‌روندۀ در این سکانس (TST) با افزایش تدریجی درصد مورفوتابپ نوع ۳، نسبت P/B و افزایش محتوای کربنات مشخص می‌شود. در نمونه ۱۸ با بافت وکستون-پکستون گلوكونیتی هر سه این مقادیر به حداقل درصد خود می‌رسند که نشان‌دهنده بیشترین گسترده‌گی آب دریاست (شکل ۱۱). این سطح با سطح حداکثر غرق شدنگی بین سطوح ۷ Cam و ۸ Cam از سکانس‌های جهانی که حق و شاتر (۲۰۰۸) ارائه کردند، قابل تطابق است ولی از ورقه عربی گزارش نشده است.

در ادامهٔ توالی مجدداً هرسه منحنی کاهش پیدا می‌کند که نشان‌دهندهٔ دستهٔ رخساره‌های تراز بالا (HST) است. در نمونهٔ ۲۳ حداقل درصد مورفوتاپ نوع ۳، کاهش نسبت P/B، کاهش محتوای کربنات و لیتوژری مارنی که شاهدی بر افزایش رس حوضه است، نشان‌گر پایین آمدن سطح نسبی آب دریا و تشکیل مرز سکانسی نوع ۲ هستند. این مرز سکانسی درون زون زیستی (*Radotruncana calcarata Zone*) قرار دارد که در مقیاس جهانی و از ورقه عربی گزارش نشده است.

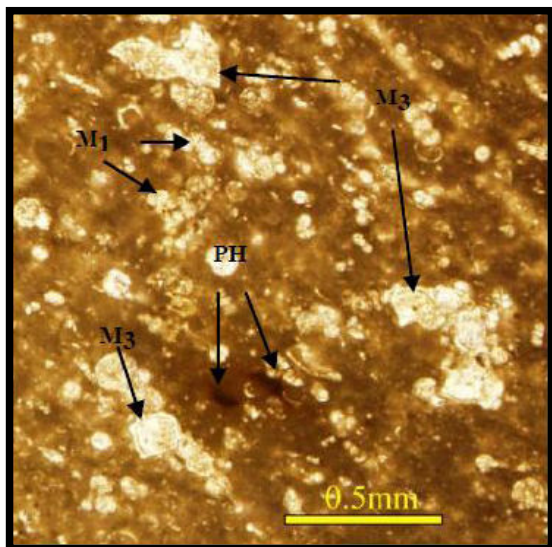


شکل ۱۱. افزایش درصد مورفوتاپ نوع ۳(M3) و نسبت P/B شواهدی از سطح حداقل غرق‌شدگی در نمونه G18 است

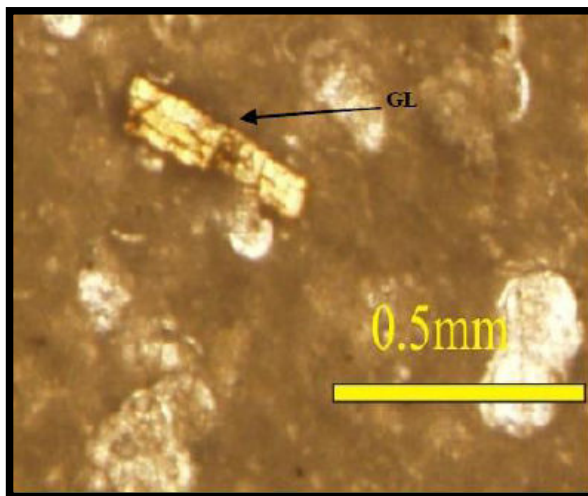
#### سکانس ۴

این سکانس به سن کامپانین پسین از اواسط بیوزون (*Radotruncana calcarata Zone*) تا اواسط بیوزون (*Globotruncanella havanensis Zone*) قرار دارد و دارای ضخامت ۷/۵ متر است. دستهٔ رخسارهای پیش‌رونده این سکانس با افزایش درصد مورفوتاپ نوع ۳، نسبت P/B و محتوای کربنات مشخص می‌گردد (شکل ۱۲ و ۱۳).

با سکون و کاهش نسبی سطح آب دریا کاهش تدریجی درصد مورفوتاپ نوع ۳، نسبت P/B و محتوای کربنات مشاهده می‌شود. این بخش از توالی معرف دستهٔ رخسارهای تراز بالا (HST) است. در نمونه ۳۰ این کاهش به حداقل می‌رسد (شکل ۱۴). پس این نمونه به عنوان مرز سکانسی از نوع SB2 در نظر گرفته می‌شود که قابل تطابق با مرز سکانسی K180 است که سیمونز و همکاران (۲۰۰۷)، در بایوزون (*Globotruncanella havanensis Zone*) از ورقه عربی گزارش کرده‌اند ولی از سکانس‌های جهانی گزارش نشده است.



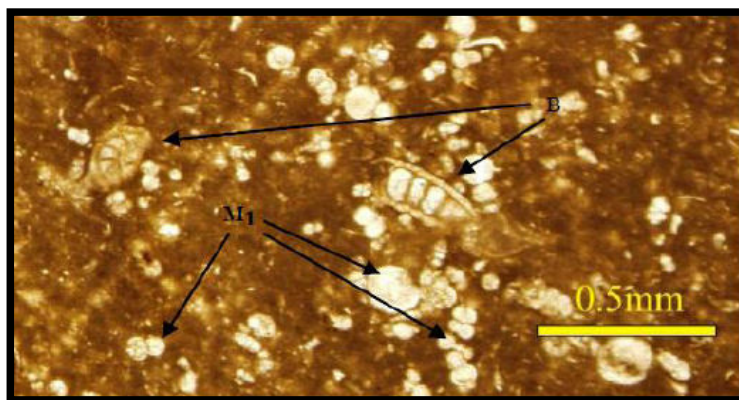
شکل ۱۲. شواهد پیش روی آب (افزایش فسفات) و مورفوتایپ نوع ۳ (M3) (PH)  
در سکانس چهارم از نمونه G24



شکل ۱۳. حضور گلوکونیت (GL)، شاهدی از پیش روی آب در سکانس چهارم از نمونه G24

## سکانس ۵

این سکانس به سن کامپانین پسین از اواسط بیوزون (*Globotruncanella havanensis* Zone) تا اوایل بیوزون (*Globotruncana aegyptiaca* Zone) قرار دارد و دارای ضخامت ۲۱ متر است. دسته رخسارهای پیش‌رونده در این سکانس (TST) با افزایش تدریجی درصد مورفوتایپ نوع ۳، افزایش نسبت P/B و افزایش محتوای کربنات مشخص می‌شود. در نمونه ۴۰ درصد مورفوتایپ نوع ۳، نسبت P/B و محتوای کربنات به حد اکثر مقدار خود میرسند. در این نمونه بافت سنگ وکستون تا پکستون همراه با مقادیری از فسفات و گلوکونیت است، بنا بر این معرف سطح بیشترین گستردگی آب دریا (MFS) است (شکل ۱۵ و ۱۶). این سطح از سکانس‌های ارائه شده در مقیاس جهانی و از ورقه عربی گزارش نشده است.



شکل ۴. افزایش درصد فرامینیفرهای بنتیک (B) و مورفوتایپ نوع اول (M1) نشان دهنده مرز سکانسی از نوع دوم در نمونه G30

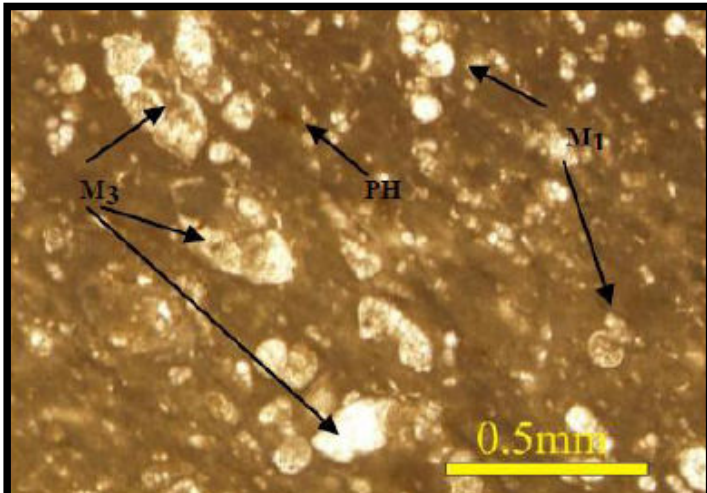
دسته رخسارهای تراز بالا (HST) این سکانس با کاهش تدریجی درصد مورفوتایپ نوع ۳ و نسبت P/B و کاهش میزان گلوبونیت و فسفات مشخص می‌گردد. در نمونه شماره ۵ حداکثر کاهش این مقادیر و لیتولوژی آهک مارنی حاکی از کاهش محتوای کربنات و دال بر افزایش درصد رس ورودی به حوضه است [۲۱]. موارد مذکور نشان‌گر پایین آمدن سطح آب دریا در مرز سکانسی از نوع دوم SB2 هستند. این مرز سکانسی با مرز سکانسی و Cam که حق و شاتر (۲۰۰۸) ارائه کردند، قابل تطابق است، ولی ازورقه عربی گزارش نشده است.

## سکانس ۶

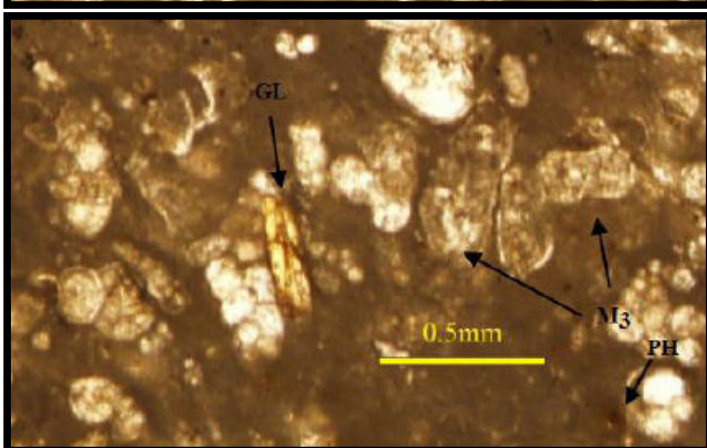
این سکانس به سن انتهای کامپانین پسین از اوایل بیوزون (*Globotruncana aegyptiaca* Zone) تا اوایل بیوزون (*Gansserina gansseri* Zone) قرار دارد و ضخامت آن  $4\frac{1}{9}$  متر است. دسته رخسارهای پیش‌رونده آن (TST) با افزایش تدریجی درصد مورفوتایپ نوع ۳ و نسبت P/B مشخص می‌گردد. از نمونه‌های ۶ تا ۵۳ به علت تناب آهک نازک لایه و مارن محتوای کربنات نوسان زیادی دارد، ولی منحنی‌های مورفوتایپ نوع ۳ و نسبت P/B به طور تدریجی افزایش پیدا می‌کند. از نمونه ۵۴ تا ۵۷ لیتولوژی به سنگ آهک ضخیم لایه تغییر پیدا می‌کند که دارای میان لایه‌هایی از مارن است. این بخش را به علت شباهت سنگ‌شناختی می‌توان معادل بخش آهکی امام حسن در نواحی لرستان و فروافتادگی دزفول در نظر گرفت. افزایش درصد مورفوتایپ نوع ۳، نسبت P/B، محتوای کربنات و حضور گلوبونیت در این بخش از توالی نشان‌گر افزایش عمق حوضه رسوی است. بافت سنگ در این بخش از توالی وکستون تا پکستون است (شکل ۱۷).

نمونه ۵۹ با بافت وکستون-پکستون حضور گلوبونیت و حداکثر درصد مورفوتایپ نوع ۳ و نسبت P/B نشان‌گر سطح بیشترین گستردگی آب دریا (MFS) در این سکانس است که در مقیاس جهانی واژ ورقه عربی گزارش نشده است (شکل ۱۸).

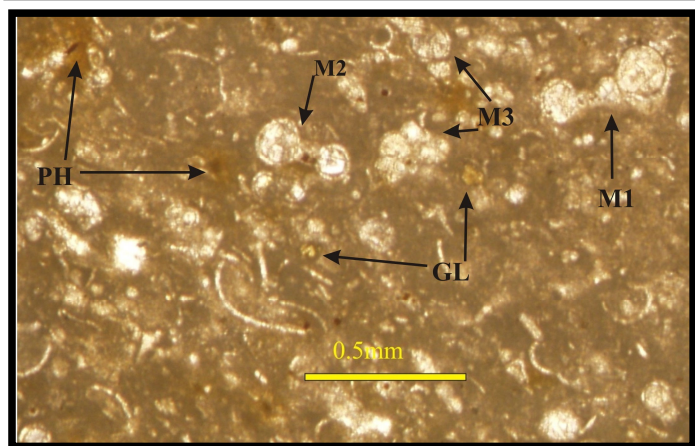
دسته رخسارهای تراز بالا (HST) با کاهش درصد مورفوتایپ نوع ۳، نسبت P/B و کاهش مقدار فسفات و گلوکونیت مشخص می‌شود. در نمونه ۶۲ درصد مورفوتایپ نوع ۳، نسبت P/B و میزان کربنات به حداقل می‌رسد که نشان‌دهنده مرز سکانسی از نوع دوم (SB2) است. این مرز سکانسی از مقیاس جهانی و ورقه عربی گزارش نشده است (شکل ۱۹).



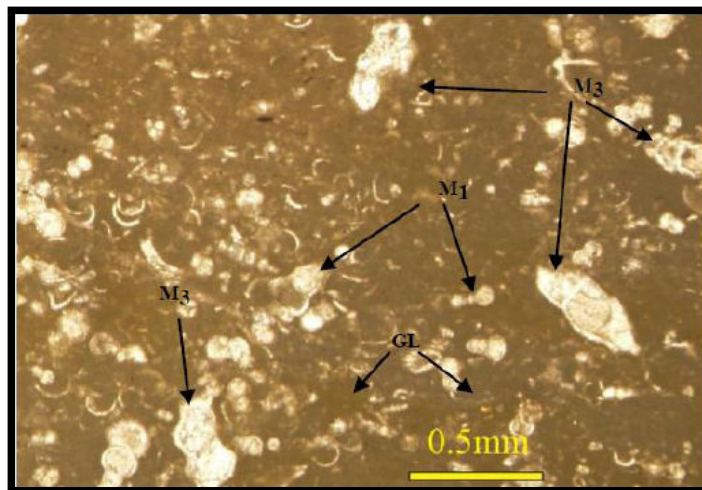
شکل ۱۵. شواهد سطح حداقل غرق شدگی سکانس پنجم در نمونه G40 که شامل افزایش مورفوتایپ نوع ۳ (M3) و فسفات (PH) است



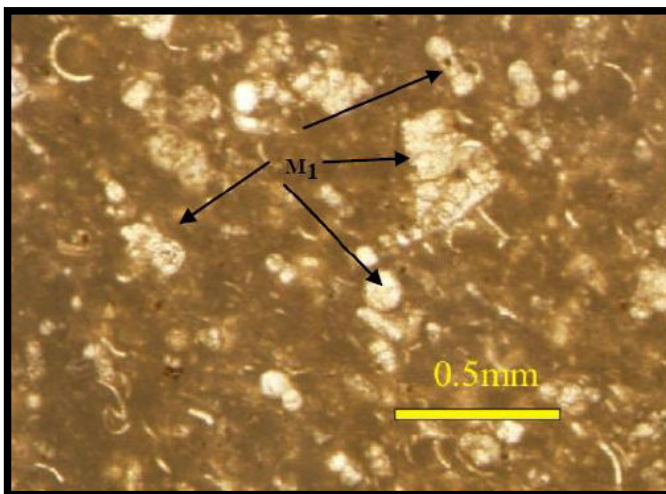
شکل ۱۶. افزایش فسفات (PH) و گلوکونیت (GL) و مورفوتایپ نوع ۳ (M3) که از شواهد سطح حداقل غرق شدگی سکانس پنجم در نمونه G40 آن



شکل ۱۷. افزایش درصد مورفوتایپ نوع ۳، نسبت P/B و حضور گلوکونیت در بخش آهکی معادل آهک امام حسن (نمونه G57)



شکل ۱۸. شواهد سطح حداکثر غرق‌شدنی از سکانس ششم در نمونه G59 که شامل افزایش درصد مورفوتابپ نوع ۳ و گلوکونیت (GL) (M3) است



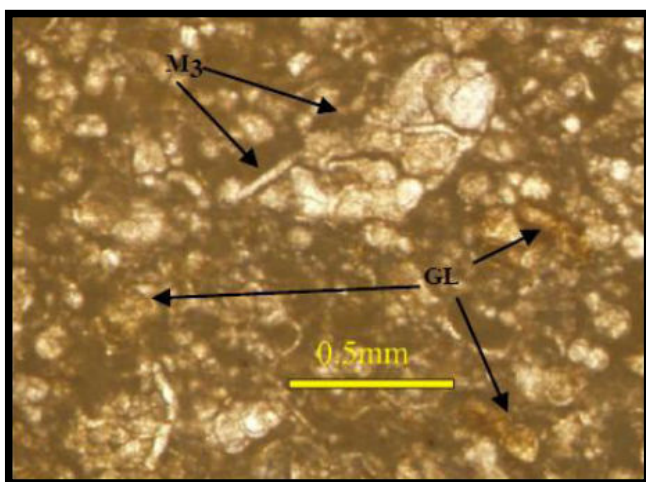
شکل ۱۹. شواهد کم عمق‌شدنی (افزایش مورفوتابپ‌های کم عمق (M1)) در مرز سکانسی نوع دوم در سکانس ششم در نمونه G62

## سکانس ۷

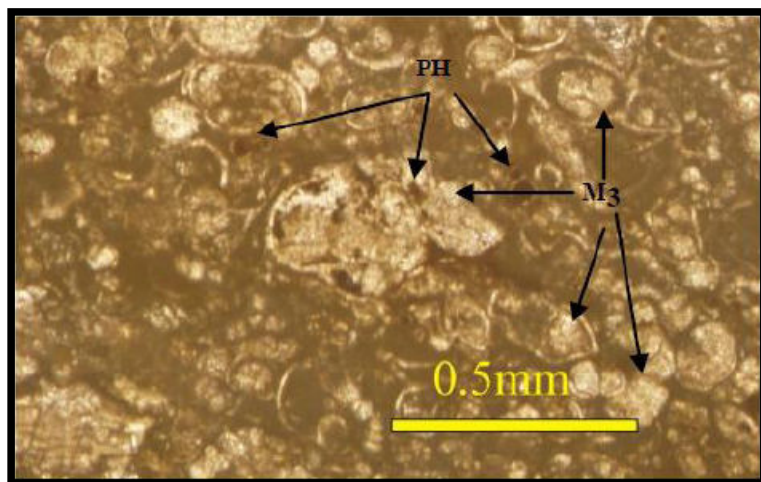
این سکانس از اوایل بیوزون (*Gansserina gansseri* Zone) تا بیوزون (*Contusotruncana* Zone) در انتهای مقطع قرار دارد و دارای ضخامت ۳۸/۶ متر است. این سکانس به سن انتهای کامپانین پسین تا مائس‌تریشتن میانی است. دسته رخسارهای پیش‌رونده در این سکانس (TST) با افزایش تدریجی درصد مورفوتابپ نوع ۳، نسبت P/B و افزایش محتوای کربنات مشخص می‌شود. در نمونه ۶۶ با بافت وکستون-پکستون این مقادیر به حداقل خود می‌رسند و حضور فسفات و گلوکونیت نشان‌گر سطح پیش‌ترین گسترده‌گی آب دریا (MFS) است. این سطح حداکثر غرق‌شدنی در مائس‌تریشتن و در زون زیستی (*Gansserina gansseri* Zone) قرار دارد و با سطح غرق‌شدنی همزمان

بین مرزهای سکانسی  $Ma_1$  و  $Cam_9$  قابل تطابق است که حق و شاتر (۲۰۰۸)، در مقیاس جهانی گزارش کرده‌اند ولی از ورقه عربی گزارش نشده است (شکل ۲۰ و ۲۱).

از نمونه ۶۷ به بالا درصد مورفوتابیپ نوع ۳ و نسبت P/B کاهش پیدا می‌کند، لذا این بخش از توالی به عنوان دسته رخسارهای تراز بالا (HST) در نظر گرفته می‌شوند. مرز بالایی این سکانس از نوع اول است و در زون زیستی (*Contusotruncana contusa and Racemiguembla fructicosa Zone*) و زیر سازند پایده به سن پالئوسن پسین (*Globanom. Pseudomenardii Zone*) قرار می‌گیرد. این سطح با مرز سکانسی  $Ma_3$  قابل تطابق است که در ابتدای زون زیستی (*Racemiguembla fructicosa Zone*) در حق و شاتر (۲۰۰۸) در مقیاس جهانی گزارش کرده‌اند ولی از ورقه عربی گزارش نشده است



شکل ۲۰. شواهد سطح حداکثر غرق شدگی در سکانس هفتم از نمونه G66 که شامل افزایش گلوكونیت (GL) و افزایش مورفوتابیپ نوع ۳ (M3) است



شکل ۲۱. شواهد سطح حداکثر غرق شدگی در سکانس هفتم از نمونه G66 شامل افزایش فسفات (PH) و افزایش مورفوتابیپ نوع ۳ (M3) است

## نتایج

بررسی روزن بران پلانکتونیک سازند گورپی در جنوب غرب فیروزآباد منجر به شناسایی ۱۳ جنس و ۲۹ گونه در قالب ۸ بایوزون گردید که بر اساس بایوزون‌های تعیین شده، سن سازند گورپی در این ناحیه از سانتونین پسین تا مائس تریستین میانی است.

تعیین عمق سازند گورپی در این پژوهش بر اساس توزیع انواع روزن بران پلانکتون، نسبت فرامینیفرهای پلانکتونیک به بنتیک (P/B) و محتوای کربنات صورت گرفته است. بر این اساس ۷ سکانس رسوبی درجه ۳ در سازند گورپی تشخیص داده شد که در برخی موارد قابل انطباق با سکانس‌های ارائه شده در مقیاس جهانی و در برخی موارد قابل تطابق با سکانس‌های ارائه شده برای ورقه عربی است و در مواردی بسیار کم با مقیاس جهانی و ورقه عربی همخوانی ندارد.

## منابع

- بخشعلیزاده صدیقی، م، زیست چینه‌نگاری سازند گورپی در جنوب و جنوب شرقی لار، پایان‌نامه کارشناسی ارشد، دانشگاه اصفهان، (۱۳۸۷) ۷۷ صفحه.
- تنگستانی، م، چینه‌شناسی سازند گورپی در شمال غرب نلودیس سبزه کوه، ناحیه ناغان، رساله کارشناسی ارشد، دانشگاه اصفهان (۱۳۸۱) ۱۲۲ صفحه.
- طاهری، م.ر، لیتواستریگرافی سازند گورپی در نواحی لرستان و فروافتادگی نزفول و نشت آبادان، پایان‌نامه کارشناسی ارشد دانشکده علوم دانشگاه تربیت معلم (۱۳۷۷) ۱۷۱ صفحه.
- قیامی اصفهانی، م، بیواستریگرافی سازند گورپی در ناحیه سبزه کوه، بروجن، بر اساس فرامینیفرهای پلانکتونیک، رساله کارشناسی ارشد، دانشگاه اصفهان (۱۳۸۱) ۷۳ صفحه.
- کاملی ازان، ا، بیواستریگرافی سازند گورپی در ناحیه لالی، خوزستان، رساله کارشناسی ارشد، دانشگاه اصفهان (۱۳۸۱) ۱۲۲ صفحه.
- مطیعی، م، زمین‌شناسی ایران، چینه‌شناسی زاگرس، انتشارات سازمان زمین‌شناسی کشور، نشریه شماره بازده (۱۳۷۲) ۵۳۶ صفحه.
- وزیری مقدم، ح، رامشی سروستانی، م، تنگستانی، م، بیواستریگرافی سازند گورپی در نواحی سبزه کوه (جنوب غرب شهرکرد) و کوهنجان (جنوب شرق شیراز)، چکیده مقالات پنجمین همایش انجمن زمین‌شناسی ایران، دانشگاه تهران، (۱۳۸۰) ۷۸ صفحه.
- هویز اوی، ع، آنالیز محیط رسوبی سازندهای گورپی و پابده با استفاده از نمودارهای ژئوفیزیکی نمونه‌های صحرایی و نمونه‌های کنده شده حفاری و تعیین مرز بو سازند در ناحیه فروافتادگی نزفول، رساله کارشناسی ارشد، دانشگاه شهید بهشتی، (۱۳۷۷) ۳۱ صفحه.

9. A. W. H. Be, "An ecological, zoogeographical and taxonomic review of recent planktonic foraminifera in Remsay", A. T. S., (ed.) *Oceanic Micropaleontology*, Springer. New York, No.1 (1997) 1-100.
10. H. M. Bolli, J. B. Saunders, and K. Perch-Nielsen, "Plankton Stratigraphy", Cambridge University Press" (1985)1032.
11. O. Catuneanu, "Principles of Sequence Stratigrphy", Elsevier, Amsterdam (2006) 375
12. V. D. Emery, and K.J. Mayers, "Sequence Stratigraphy",Blackwell. Oxford, UK", (1996) 297.
13. M. D. Georgescu, "Santonian-maastrichtian planktonic foraminifers in the Romanian Black sea offshore", *Micropaleontology*. Vol. 42 (4) (1996) 305-333.
- 14.B. M. Hart and H. W. Baily, "The distribution of planktonic foraminiferidae in the Mid-Cretaceous of the new Europe", Aspekt der Kriede, IUGS series A. No.6 (1979) 527-542.
15. B. M. Hart and H. W. Baily, S. Crittenden, B. N. Fletcher, R. Price, and A. Swiecicki, Cretaceous. In: Jenkyns, D. G. and Murray, J. W. (Editors) "Stratigraphical atlas of fossil foraminifera", second edition. British Micropalaeontological Society Series (1989) 273-371.
16. M. R. Jalali, "stratigraphy of Zagros basin, National Iranian Oil Company", Exploration and Production Division Report nos. 1249 and 1073(1965) 34-36, Unpublished.
17. G. A. James, and J. G. Wynd, "Stratigraphic nomenclature of Iranian oil consortium agreement area", American Association Petroleum Geologists Bulletin. Vol. 49 (1965) 2182-2245.
18. A. Kalantari, "Microbiostratigraphy of the Sarvestan area", Southwestern Iran, National Iranian Oil Company. No. 5 (1976) 129.
19. G. Keller, T. Adatte, W. Stinnesbeck, V. Luciani, N. Karoui-Yaakoub, and d. Zaghlbi-Turki, "Paleoecology of the Cretaceous-Tertiary Mass extinction in planktonic foraminifera", *Palaeoecology Palaeogeography Palaeoclimatology*, Vol 178 (2002) 257-297.
20. A. R. Jr. Loeblich, and H. Tappan, "Foraminiferal genera and their classification",Van Nostrand Rainhold Company", New York (1988) 976.
21. A. Mabrouk, I. Jarvis, H. Belayouni, A. Murphy, and R. T. J. Moody, "Sequence Stratigraphy, Sea Level Change and Palaeoenvironment via Chemostratigraphy", *Regional to*

- Global Correlations, Adapted from extended abstract prepared for oral presentation at AAPG Annual Convention, Long Beach, California, April 104 (2007).
22. E. A. Mancini, and B. H. Tew, "Recognition of maximum flooding event in mixed siliciclastic-carbonate systems, key to global chronostratigraphic correlation", Geology, Vol.25 (1996) 351-354.
23. E. A. Mancini, T. M. Puckett and B. H. Tew, "Integrated biostratigraphic and sequence stratigraphic framework for Upper Cretaceous strata of the eastern Gulf Costal Plain", USA, Cretaceous Research 17 (1996) 645-669.
24. I. Premoli Sava, and D. Verga, "Practical Manual of Cretaceous Planktonic Foraminifera", In: Verga, D. and Rettori, R., (Eds.): International school on Planktonic Foraminifera, Universities of Perugia and Milano, Tipografia Pontefelcino, 1- Perugia (2004) 283.
25. J. A. Postuma, Manual of planktonic Foraminifera, Elsevier.Amsterdam (1971) 840.
26. F. Robaszynski, and M. Caron, "Foraminifers planktonique du Cretaceous", Bulletin Society Geology of France, (1995) 981-962.
27. <http://tscreator.com>